

УДК 531.3

## О ЗАКОНОМЕРНОСТЯХ КОНТАКТНОГО ВЗАИМОДЕЙСТВИЯ ПОВЕРХНОСТЕЙ С РЕГУЛЯРНЫМ МИКРОРЕЛЬЕФОМ (ПЛОСКАЯ ЗАДАЧА)

© 2025 г. А. А. Бобылев<sup>a,\*</sup>

<sup>a</sup>Московский государственный университет им. М.В. Ломоносова, Москва, Россия

\*E-mail: abobylov@gmail.com

Поступила в редакцию 14.11.2024 г.

После доработки 21.12.2024 г.

Принята к публикации 28.12.2024 г.

Рассматриваются плоские контактные задачи с ограниченной областью контакта для упругих тел, на поверхности которых нанесен регулярный микрорельеф (PMP). Предполагается, что для определения напряженно-деформированного состояния тел может быть использовано решение Фламана задачи о действии сосредоточенной нормальной силы на границе упругой полуплоскости. При моделировании контактного взаимодействия использована расчетная схема, в которой одно из тел считается жестким штампом, а второе – упругой полуплоскостью с приведенным модулем упругости. Рассмотрены однопараметрические семейства штампов с PMP, в качестве параметра которых выступает число микровыступов. Методом вычислительного эксперимента исследованы закономерности контактного взаимодействия штампов с PMP и упругой полуплоскости. На основе установленных закономерностей предложена методика приближенного расчета распределения нагрузок между элементами PMP, а также оценки контактного давления, размеров площадок фактического контакта и средних конечных зазоров на микровыступах.

**Ключевые слова:** задача одностороннего дискретного контакта, поверхности с регулярным микрорельефом

**DOI:** 10.31857/S1026351925030083, **EDN:** AZZBDE

**1. Введение.** Поверхности с регулярным микрорельефом (PMP) применяются для улучшения различных эксплуатационных свойств деталей машин и приборов [1]. При расчете параметров контактного взаимодействия таких поверхностей в качестве математических моделей, как правило, используются периодические контактные задачи [2–5]. Характерной особенностью постановок периодических контактных задач является равномерное распределение нагрузок между отдельными элементами PMP. В случае ограниченной области контакта распределение нагрузок между элементами PMP является неравномерным, что значительно усложняет решение

задачи. Для решения этого класса задач дискретного контакта, как правило, используются численные алгоритмы.

В настоящей работе рассматриваются плоские контактные задачи с ограниченной областью контакта для упругих тел, на поверхности которых нанесен РМР. Предполагается, что макроформа и РМР контактирующих тел таковы, что для определения напряженно-деформированного состояния тел может быть использовано решение Фламана задачи о действии сосредоточенной нормальной силы на границе упругой полуплоскости. В этом случае при моделировании контактного взаимодействия двух упругих тел может быть применена расчетная схема, в которой одно из тел считается недеформируемым (жестким штампом), а второе – упругой полуплоскостью с приведенным модулем упругости [6]. На поверхности возможного контакта полуплоскости со штампом задаются условия одностороннего контакта, трение на площадках контакта отсутствует.

Для численного решения рассматриваемого класса задач одностороннего дискретного контакта использованы алгоритмы, разработанные в работах [7, 8]. Методом вычислительного эксперимента исследованы закономерности контактного взаимодействия штампов с РМР и упругой полуплоскости. На основе установленных закономерностей для поверхностей с РМР предложена методика приближенного расчета распределения нагрузок между элементами РМР, а также оценки контактного давления, размеров площадок фактического контакта и средних конечных зазоров на микровыступах.

**2. Постановка задачи.** Пусть невесомая однородная изотропная упругая полуплоскость в неподвижной прямоугольной системе координат  $Oxy$  занимает область  $\Omega = \{(x, y) \in \mathbb{R}^2 : y \leq 0\}$  с границей  $\Gamma$ . Далее под  $\mathbf{u}(x, y)$ ,  $\boldsymbol{\epsilon}(x, y)$ ,  $\boldsymbol{\sigma}(x, y)$  будем понимать соответственно вектор перемещений и тензоры деформаций и напряжений в точке  $(x, y) \in \Omega$ . Предполагается, что полуплоскость находится в условиях плоской деформации, деформации малы, а напряжения в недеформированном состоянии отсутствуют. Напряженно-деформированное состояние полуплоскости описывается системой уравнений:

$$\boldsymbol{\epsilon} = \text{def } \mathbf{u}, \quad \boldsymbol{\sigma} = \mathbf{S} : \boldsymbol{\epsilon}, \quad \text{div} \boldsymbol{\sigma} = 0 \text{ в } \Omega, \quad (2.1)$$

где  $\text{def} \equiv 1/2(\text{grad} + \text{grad}^T)$ ,  $\mathbf{S}$  – тензор модулей упругости.

В полуплоскость вдавливается гладкий жесткий штамп, основание которого имеет РМР. Часть границы  $\Gamma$ , по которой возможен контакт полуплоскости со штампом, обозначается  $\Gamma_p$ . Положение и предельные размеры области возможного контакта  $\Gamma_p$  задаются априори исходя из геометрических и физических соображений. Предполагается, что часть границы  $\Gamma_p$  является односвязной и конечной. При вдавливании штампа с РМР область возможно-го контакта  $\Gamma_p$  включает множество отдельных пятен фактического контакта, положение и размеры которых заранее неизвестны.

Форма основания штампа и его РМР описываются функцией  $\Phi(x)$ , значение которой в точке  $(x, 0) \in \Gamma_p$  равно расстоянию от этой точки до поверхности штампа, измеренному вдоль направления внешней нормали к границе полуплоскости. Расстояние  $\Phi(x)$  отсчитывается по отношению к недеформированному состоянию полуплоскости. В случае штампа с РМР функция

$\Phi(x)$  является мультимодальной (многоэкстремальной). Для определенности полагается  $\min_{\Gamma_p} \Phi(x) = 0$ . Предполагается также, что выполняется условие:

$$|d\Phi / dx| \ll 1, \quad (2.2)$$

необходимое для применимости решения Фламана и рассматриваемой расчетной схемы при моделировании локального контактного взаимодействия двух упругих тел.

Положение штампа определяется вектором перемещений  $\delta = (\delta_x, \delta_y)$  и углом поворота  $\varphi_z$  как жесткого целого. Главный вектор  $\mathbf{F} = (F_x, F_y)$  и главный момент  $M_z$  внешних сил, приложенных к штампу, считаются заданными. В качестве центра приведения выбирается точка  $(x_c, y_c)$ . Далее рассматривается задача нормального контакта полуплоскости со штампом, поэтому будем полагать:

$$\delta_x = 0, \quad F_x = 0, \quad -\infty < F_y < 0, \quad |M_z| < \infty. \quad (2.3)$$

Контактное взаимодействие упругой полуплоскости с жестким штампом описывается условиями одностороннего гладкого контакта:

$$u_y \leq \Phi + \delta_y + (x - x_c)\varphi_z, \quad \sigma_{yy} \leq 0, \quad \sigma_{yy} [u_y - \Phi - \delta_y - (x - x_c)\varphi_z] = 0, \quad \sigma_{xy} = 0 \\ \text{на } \Gamma_p. \quad (2.4)$$

Остальная часть границы полуплоскости свободна от внешних нагрузок:

$$\sigma_{xy} = \sigma_{yy} = 0 \quad \text{на } \Gamma \setminus \Gamma_p. \quad (2.5)$$

Уравнения равновесия жесткого штампа имеют вид:

$$\int_{\Gamma_p} \sigma_{yy} dx = F_y, \quad \int_{\Gamma_p} \sigma_{yy} (x - x_c) dx = M_z. \quad (2.6)$$

Отметим, что соотношения (2.6), по существу, представляют собой нелокальные граничные условия.

Для существования решения рассматриваемой контактной задачи далее будем предполагать, что внешние силы и моменты, приложенные к жесткому штампу, согласованы между собой таким образом, что существует распределение нормальных напряжений  $\sigma_{yy} \leq 0$  на  $\Gamma_p$ , удовлетворяющее уравнениям равновесия штампа (2.6).

Чтобы выделить класс единственности решения в рассматриваемой задаче, необходимо наложить дополнительные условия на поведение решения на бесконечности и на смещения полуплоскости как жесткого целого.

В монографии [9] рассмотрен случай, когда на бесконечности напряжения и вращение стремятся к нулю. Показано, что эти условия обеспечивают единственность поля напряжений. Если при этом отсутствуют массовые силы, а главный вектор внешних поверхностных усилий имеет ограниченную величину и отличен от нуля, то напряжения и соответствующие им смещения имеют асимптотические представления:

$$\sigma_{ij}(\mathbf{x}) = O(1/r), \quad u_i(\mathbf{x}) = O(\ln r) \quad \text{при } r \rightarrow \infty, \quad (2.7)$$

где  $r = (x^2 + y^2)^{1/2}$ .

Перемещения  $\mathbf{v} = (v_x, v_y)$  полуплоскости как жесткого целого имеют вид:

$$v_x(x, y) = \lambda_x - \omega y, \quad v_y(x, y) = \lambda_y + \omega x, \quad (2.8)$$

где  $\lambda_x$  и  $\lambda_y$  – компоненты поступательного перемещения;  $\omega$  – поворот полуплоскости как жесткого целого. Перемещение  $\lambda_x$  не влияет на условия нормального контакта полуплоскости со штампом, поэтому примем  $\lambda_x = 0$ . Для выполнения условий (2.7) положим  $\omega = 0$ . Значение  $\lambda_y$  выбирается так, чтобы оператор Пуанкаре–Стеклова, отображающий на  $\Gamma_p$ , нормальные напряжения  $\sigma_{yy}$  в нормальные перемещения  $u_y$ , был положительно-определенным [10].

Задача состоит в определении полей перемещений  $\mathbf{u}(x, y)$ , деформаций  $\epsilon(x, y)$  и напряжений  $\sigma(x, y)$ , удовлетворяющих уравнениям (2.1), граничным условиям (2.4)–(2.5), уравнениям равновесия штампа (2.6), условиям на бесконечности (2.7) и дополнительным условиям на перемещения полуплоскости как жесткого целого (2.8). Подчеркнем, что в рассматриваемой задаче одностороннего дискретного контакта априори задается лишь область возможного контакта  $\Gamma_p$ , положение и размеры пятен фактического контакта заранее неизвестны и подлежат определению в процессе решения задачи.

**3. Класс штампов с РМР.** Без потери общности будем полагать, что область возможного контакта имеет вид:

$$\Gamma_p = \{0 \leq x \leq a, y = 0\}.$$

Введем в рассмотрение класс  $\Pi(\Phi_1, \Phi_2, K)$  штампов с РМР, форма основания которых описывается функцией:

$$\Phi(x) = \Phi_1(x) + \Phi_2(\xi)/K, \quad (3.1)$$

где  $\Phi_1(x)$  – выпуклая функция, характеризующая макроформу штампа;  $\Phi_2(\xi)$  – выпуклая функция, определяющая форму РМР;  $K$  – число микровыступов;  $\xi = \{Kx/a\}$  – “быстрая” координата,  $\{\cdot\}$  – дробная часть числа.

Для заданной пары функций  $\{\Phi_1, \Phi_2\}$  формула (3.1) определяет однопараметрическое семейство  $\Pi^s(\Phi_1, \Phi_2)$  штампов с РМР, в качестве параметра которого выступает число микровыступов  $K$ . Микровыступы штампов одного семейства являются подобными, при этом коэффициент подобия равен отношению чисел микровыступов. Несложно показать, что для всех штампов семейства  $\Pi^s(\Phi_1, \Phi_2)$  величина  $\max|d\Phi/dx|$  имеет одинаковое значение.

Все штампы, принадлежащие к одному семейству, имеют одинаковую макроформу, поэтому семейству  $\Pi^s(\Phi_1, \Phi_2)$  штампов с РМР можно поставить в соответствие так называемый базовый штамп  $\Pi^b(\Phi_1)$  без РМР, форма основания которого описывается функцией  $\Phi(x) \equiv \Phi_1(x)$ , а область возможного контакта равна  $\Gamma_p$ . Кроме того, каждому штампу  $\Pi^s(\Phi_1, \Phi_2, K)$  поставим в соответствие бесконечный в плане штамп  $\Pi^p(\Phi_2, K)$  с таким же РМР, форма основания которого описывается функцией  $\Phi(x) \equiv \Phi_1(x)/K$ . Контактное взаимодействие штампа  $\Pi^p(\Phi_2, K)$  с упругой полуплоскостью моделируется периодической задачей с периодом  $a/K$ .

При проведении расчетов использовались следующие параметрические представления функций:

$$\Phi_1(x) = h_1 a \left[ H(|2x/a - 1| - c_1) \right]^{m_1}, \quad \Phi_2(\xi) = h_2 a \left[ H(|2\xi - 1| - c_2) \right]^{m_2}, \quad (3.2)$$

Таблица 1. Параметры семейств штампов и внешней нагрузки

Семейство штампов	Базовый штамп			РМР			$\max  d\Phi/dx $	Внешняя нагрузка	
	$h_1$	$c_1$	$m_1$	$h_2$	$c_2$	$m_2$		$f$	$e$
$\Pi_1^s$	0.0	0.00	0	$10^{-5}$	0.00	2	$0.400 \cdot 10^{-4}$	$0.80 \cdot 10^{-5}$	0.00
$\Pi_2^s$	0.0	0.00	0	$10^{-4}$	0.25	4	$0.336 \cdot 10^{-3}$	$0.80 \cdot 10^{-5}$	0.10
$\Pi_3^s$	$10^{-5}$	0.00	1	$10^{-3}$	0.00	2	$0.402 \cdot 10^{-2}$	$0.90 \cdot 10^{-5}$	0.00
$\Pi_4^s$	$10^{-5}$	0.00	1	$10^{-4}$	0.50	6	$0.571 \cdot 10^{-4}$	$0.70 \cdot 10^{-5}$	0.05
$\Pi_5^s$	$10^{-5}$	0.00	2	$10^{-4}$	0.00	2	$0.440 \cdot 10^{-3}$	$1.20 \cdot 10^{-5}$	0.00
$\Pi_6^s$	$10^{-4}$	0.25	2	$10^{-3}$	0.50	4	$0.129 \cdot 10^{-2}$	$6.00 \cdot 10^{-5}$	0.05
$\Pi_7^s$	$10^{-5}$	0.00	4	$10^{-3}$	0.25	2	$0.308 \cdot 10^{-2}$	$1.20 \cdot 10^{-5}$	0.00
$\Pi_8^s$	$10^{-4}$	0.50	4	$10^{-5}$	0.00	6	$0.219 \cdot 10^{-3}$	$1.00 \cdot 10^{-5}$	0.05
$\Pi_9^s$	$10^{-5}$	0.00	6	$10^{-5}$	0.75	2	$0.130 \cdot 10^{-3}$	$0.20 \cdot 10^{-5}$	0.00
$\Pi_{10}^s$	$10^{-3}$	0.75	6	$10^{-4}$	0.00	4	$0.809 \cdot 10^{-3}$	$0.01 \cdot 10^{-5}$	0.05

где  $h_i \geq 0$ ,  $0 \leq c_i \leq 1$ ,  $m_i \in \{0\} \cup [1; \infty)$  – безразмерные параметры,  $i = 1, 2$ ;  $H(\cdot)$  – функция Хевисайда. Семейства штампов, определяемые парами функций (3.2), обозначаются  $\Pi_n^s$ , где нижний индекс  $n = 1, 2, \dots$  указывает на номер семейства. Штамп семейства  $\Pi_n^s$  с  $K$  микровыступами обозначается  $\Pi_n(K)$ , соответствующий семейству  $\Pi_n^s$  базовый штамп – через  $\Pi_n^b$ , а соответствующий штампу  $\Pi_n(K)$  бесконечный в плане штамп – через  $\Pi_n^p(K)$ . Из формул (3.1) и (3.2) следует, что семейство штампов  $\Pi_n^s$  определяется набором из шести параметров  $\{h_1, c_1, m_1, h_2, c_2, m_2\}$ , при этом базовый штамп  $\Pi_n^b$  определяется набором из трех параметров  $\{h_1, c_1, m_1\}$ , а РМР – набором из четырех параметров  $\{h_2, c_2, m_2, K\}$ .

Параметры некоторых семейств штампов, использованных при проведении вычислительных экспериментов, приведены в табл. 1. Количество микровыступов  $K$  изменялось в диапазоне  $2^4 \div 2^{12}$ . В качестве примера на рис. 1а, б изображены соответственно профили базового штампа  $\Pi_7^b$  и микровыступов штампов семейства  $\Pi_7^s$ , а на рис. 2а, б – соответственно профили штампов  $\Pi_7(16)$  и  $\Pi_7(64)$ . Следует отметить, что на рис. 1 и 2 масштабы изображения по вертикальной и горизонтальной осям отличаются на несколько порядков.

**4. Нагрузки, приложенные к штампу.** Нормальная компонента главного вектора (погонная сила) и главный момент внешних сил, приложенных к штампу, задаются в виде:

$$F_y = -faE^*; M_z = eF_y a,$$

где  $f > 0$  – безразмерный параметр;  $e$  – безразмерный параметр, характеризующий эксцентриситет равнодействующей внешней нагрузки относительно центра приведения  $(x_c, y_c) = (0.5a, 0)$ ;  $E^* = E/(1 - v^2)$  – приведенный модуль упругости;  $E$  и  $v$  – модуль Юнга и коэффициент Пуассона материала полуплоскости. Таким образом, внешние нагрузки, приложенные к штампу, определяются парой безразмерных параметров  $\{f, e\}$ . Значения этих параметров для некоторых семейств штампов приведены в табл. 1.

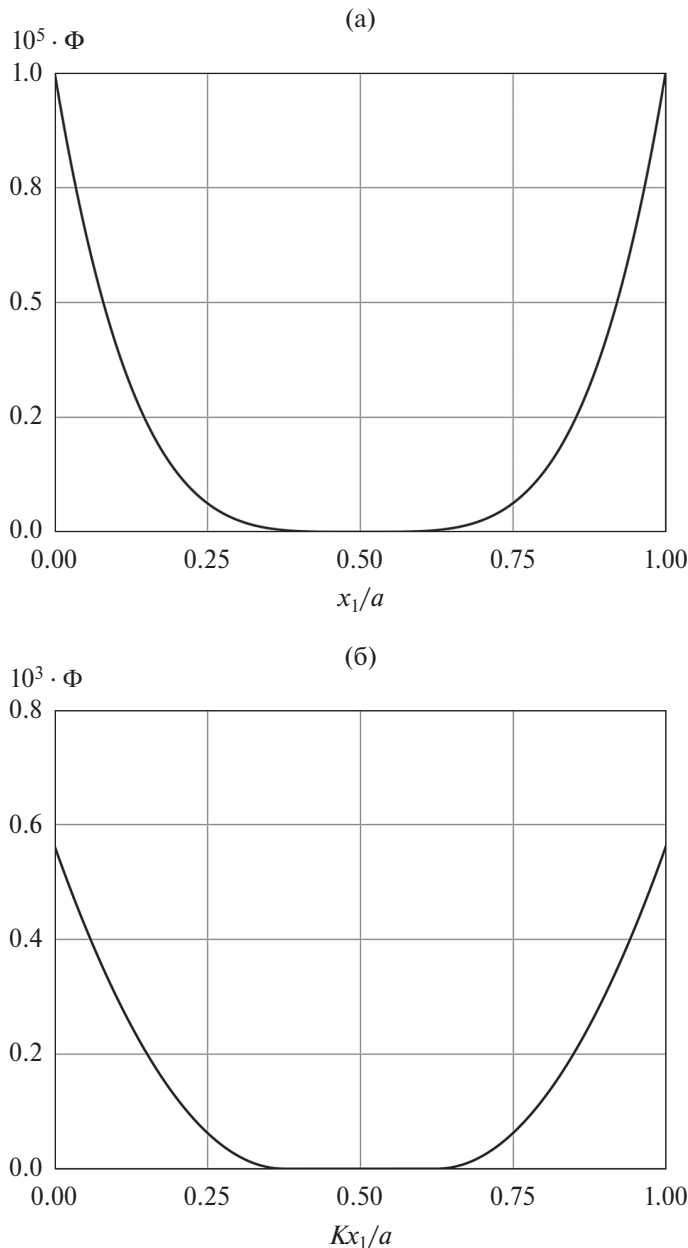


Рис. 1. Профили базового штампа  $\Pi_7^b$  (а) и микровыступов штампов семейства  $\Pi_7^s$  (б).

**5. Сеточные функции характеристик контакта штампов с РМР.** Отдельные микровыступы штампа  $\Pi_n(K)$  обозначим  $\varpi_i$ ,  $i=1, K$ , а множество микровыступов штампа — через  $D_{mp} = \{\varpi_i\}$ ,  $|D_{mp}| = K$ . Введем на множестве микровыступов

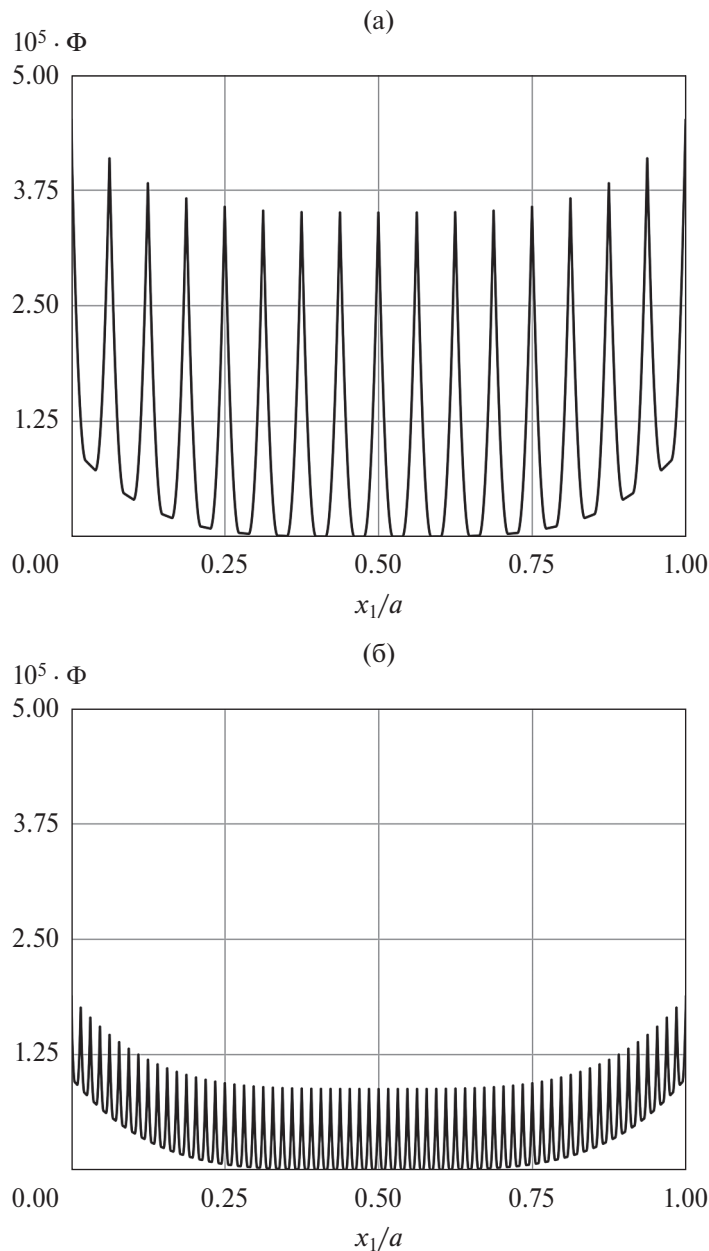


Рис. 2. Профили штампов  $\Pi_7(16)$  (а) и  $\Pi_7(64)$  (б).

$D_{mp}$  сеточную координату  $i = \overline{1, K}$ , и обозначим через  $\Gamma_i$  часть  $\Gamma_p$ , соответствующую микровыступу  $\varpi_i$ . Для каждого штампа  $\Pi_n(K)$  введем следующие сеточные функции:

– контактных усилий на микровыступах  $\mathbf{R}_K = [r_i]$ :

$$r_i = \int_{\Gamma_i} p(x) dx; \quad (5.1)$$

– относительных величин площадей фактического контакта на микровыступах  $\mathbf{S}_K = [s_i]$ :

$$s_i = \frac{K}{a} \int_{\Gamma_i} [p(x) > 0]_a dx; \quad (5.2)$$

– максимумов контактного давления на микровыступах  $\mathbf{P}_K = [p_i]$ :

$$p_i = \max_{\Gamma_i} p(x); \quad (5.3)$$

– средних контактных давлений на микровыступах  $\mathbf{Q}_K = [q_i]$ :

$$q_i = \int_{\Gamma_i} p(x) dx / \int_{\Gamma_i} [p(x) > 0]_a dx; \quad (5.4)$$

– средних конечных зазоров на микровыступах  $\mathbf{Z}_K = [z_i]$ :

$$z_i = \frac{K}{a} \int_{\Gamma_i} (\Phi + \delta_y + (x - x_c)\varphi_z - u_y) dx, \quad (5.5)$$

где  $p(x)$  – распределение контактного давления для штампа  $\Pi_n(K)$ ;  $[\cdot]_a$  – скобка Айверсона (функция равная 1 для истинного аргумента и равная 0 в противном случае).

Далее построим для штампа  $\Pi_n(K)$  с РМР множество микровыступов, контактирующих с полуплоскостью  $D_c(\mathbf{R}_K) = \{\varpi_i \in D_{mp} : r_i > 0\}$ . Введем ряд определений. Два микровыступа  $\varpi_i$  и  $\varpi_n$  являются ближайшими соседями, если  $|i - n| = 1$ . Два микровыступа  $\varpi_i \in D_c$  и  $\varpi_n \in D_c$  являются связанными с друг другом, если они либо сами являются ближайшими соседями, либо существует цепочка из микровыступов, являющихся ближайшими соседями и принадлежащих множеству  $D_c$ , соединяющая эти два микровыступа. Совокупность связанных между собой микровыступов называется кластером контактирующих микровыступов и обозначается  $C_m$ , где  $m = 1, \dots, M$  – номер кластера. Микровыступ  $\varpi_i \in C_m$  принадлежит множеству  $B_m^1$  граничных микровыступов кластера, если только один его ближайший сосед принадлежит множеству  $C_m$ . Микровыступ  $\varpi_i \in C_m$  принадлежит множеству  $B_m^2$  приграничных микровыступов кластера, если один из его ближайших соседей принадлежит множеству  $B_m^1$ . Микровыступ  $\varpi_i \in C_m$  принадлежит множеству  $C_m^0$  внутренних микровыступов кластера, если он не является граничным или приграничным, т.е.  $C_m^0 = C_m \setminus (B_m^1 \cup B_m^2)$ . Полагая, что

$$k = \sum_{m=1}^M |C_m^0| > 0,$$

введем оператор редукции  $\mathbf{F}(D_c) : \mathbb{R}^K \rightarrow \mathbb{R}^k$  исключающий из вектора компоненты, соответствующие микровыступам

$$\varpi_i \notin \bigcup_{m=1}^M C_m^0.$$

Оператор  $\mathbf{F}$  является прямоугольной матрицей размеров  $k \times K$ , в каждой строке которой имеется равно один ненулевой элемент, равный 1.

Для штампов рассматриваемого класса  $\Pi(\Phi_1, \Phi_2, K)$  функция  $\Phi_1(x)$ , характеризующая их макроформу, является выпуклой, поэтому множество  $D_c$  контактирующих с полуплоскостью микровыступов имеет вид:

$$D_c = \{k_1, \dots, k_2\}, \quad 1 \leq k_1 \leq k_2 \leq K,$$

и является кластером  $C_1 = D_c$ . Если  $k_1 + 2 \leq k_2 - 2$ , то

$$B_1^1 = \{k_1, k_2\}, \quad B_1^2 = \{k_1 + 1, k_2 - 1\}, \quad C_1^0 = \{k_1 + 2, \dots, k_2 - 2\}$$

и может быть определен оператор редукции  $\mathbf{F}(D_c): \mathbb{R}^K \rightarrow \mathbb{R}^k$ , где  $k = k_2 - k_1 - 3$ .

**6. Сеточные функции контактных усилий базовых штампов без РМР.** Выполним равномерное разбиение  $T_K$  отрезка  $[0, a]$  на  $K$  частей длиной  $h = a/K$  и построим равномерную сетку с узлами  $x_i = (i - 0.5)h$ ,  $i = 1, K$ . Разбиение  $T_K$  производит разделение области возможного контакта  $\Gamma_p$  на подобласти  $\Gamma_i$ , соответствующие отдельным микровыступам  $\varpi_i \in D_{mp}$  штампа  $\Pi_n(K)$ .

Введем для базового штампа  $\Pi_n^b$  сеточные функции контактных усилий  $\mathbf{R}_K^b = [r_i^b]$  и нормализованных контактных усилий  $\tilde{\mathbf{R}}_K^b = [\tilde{r}_i^b]$ :

$$r_i^b = \int_{x_i - h/2}^{x_i + h/2} p_b(x) dx, \quad \tilde{r}_i^b = r_i^b / (h p_b^m), \quad (6.1)$$

где  $p_b(x)$  – распределение контактного давления для базового штампа  $\Pi_n^b$ ;  $p_b^m = |F_b|/a$  – среднее контактное давление по области возможного контакта  $\Gamma_p$ . Интегрируемость неотрицательной функции  $p_b(x)$  на отрезке  $[0, a]$  следует из третьего условия (2.3). Обозначим

$$P_b(x) = \int_0^x p_b(t) dt. \quad (6.2)$$

Тогда из (6.1) и (6.2) получим, что

$$\tilde{r}_i^b = \frac{1}{p_b^m} \frac{P_b(x_i + h/2) - P_b(x_i - h/2)}{h}.$$

Если функция  $p_b(x)$  является непрерывной в точке  $x_i$ , то существует предел:

$$\lim_{h \rightarrow 0} \tilde{r}_i^b = \frac{1}{p_b^m} \lim_{h \rightarrow 0} \frac{P_b(x_i + h/2) - P_b(x_i - h/2)}{h} = \frac{1}{p_b^m} \frac{dP_b}{dx} \bigg|_{x=x_i} = \frac{p_b(x_i)}{p_b^m} = \tilde{p}_b(x_i), \quad (6.3)$$

где  $\tilde{p}_b(x)$  – нормализованное распределение контактного давления для базового штампа  $\Pi_n^b$ . Следовательно, для множества сеточных функций нормализованных контактных усилий  $\tilde{\mathbf{R}}_K^b$  при  $K \rightarrow \infty$  существует предельная

кривая – нормализованное распределение контактного давления  $\tilde{p}_b(x)$ . Предполагая  $p_b(x) \in C^2[x_i - h/2, x_i + h/2]$ , несложно получить оценку:

$$\left| \tilde{r}_i^b - p_b^*(x_i) \right| \leq \frac{h^2}{24 p_b^m} \max_{t \in [x_i - h/2, x_i + h/2]} |p_b''(t)|. \quad (6.4)$$

**7. Периодическая контактная задача.** Контактное взаимодействие бесконечного в плане штампа  $\Pi_n^p(K)$  с упругой полуплоскостью моделируется периодической задачей с периодом  $a/K$ . Для ее решения можно использовать как аналитические, так и численные методы.

С помощью решения периодической контактной задачи для штампа  $\Pi_n^p(K)$  аналогично (5.2)–(5.4) введем следующие функции:

– относительных величин площадей фактического контакта на микрораступах  $\Upsilon_s(p)$ ;

– максимумов контактного давления на микрораступах  $\Upsilon_p(p)$ ;

– средних контактных давлений на микрораступах  $\Upsilon_q(p)$ ;

– средних конечных зазоров на микрораступах  $\Upsilon_z(p)$ ,

где  $p \equiv p_p^m$  – среднее контактное давление для бесконечного в плане штампа  $\Pi_n^p(K)$ .

**8. Характеристики процесса вдавливания штампа.** Рассмотрим процесс вдавливания жесткого штампа в упругую полуплоскость при увеличении внешней нагрузки. Аналогично [11, 12] введем для штампа  $\Pi_n^p(K)$  следующие характеристики процесса контактного взаимодействия с упругой полуплоскостью – функции безразмерного параметра внешней нагрузки  $f$ :

– относительной величины площади фактического контакта штампа

$$s \equiv \frac{1}{a} \int_{\Gamma_p} [p(x) > 0]_a dx = \Lambda_K^1(f);$$

– осадки штампа  $\delta_y = \Lambda_K^2(f)$ ;

– угла поворота штампа  $\varphi_z = \Lambda_K^3(f)$ .

**9. Вычислительные алгоритмы.** Для численного решения задач одностороннего дискретного контакта жестких штампов  $\Pi_n(K)$  с РМР и упругой полуплоскости в настоящей работе применялся разработанный в работе [7] вычислительный алгоритм, основанный на вариационной формулировке контактной задачи и ее гранично-элементной дискретизации. Использовались регулярные сетки одноузловых граничных элементов нулевого порядка. Этот же алгоритм применялся при решении задач для базовых штампов  $\Pi_n^p$  без РМР. Необходимое количество граничных элементов определялось путем сравнения решений, полученных на вложенных сетках при их двукратном последовательном измельчении. При построении гранично-элементных сеток подобласть  $\Gamma_i$ , соответствующая одному микрораступу, разбивалась на  $N_{be} = 1024$  граничных элемента, т.е. общее количество граничных элементов на  $\Gamma_p$  составляло  $N_{be} \times K$ . Наибольшее количество элементов сетки для штампа с 4096 микрораступами составляло  $2^{22} = 4\,194\,304$  элемента.

Следует отметить, что разработанный в работе [7] вычислительный алгоритм позволяет определять не только вектор узловых нормальных напряжений, но и перемещение  $\delta_y$  и угол поворота  $\varphi_z$  жесткого штампа.

Для численного решения периодических контактных задач для бесконечных в плане штампов  $\Pi_n^p(K)$  применялся разработанный в работе [8] вычислительный алгоритм, основанный на использовании дискретного преобразования Фурье при аппроксимации оператора Пуанкаре–Стеклова, отображающего в зоне возможного контакта нормальные напряжения в нормальные перемещения. Передаточная функция оператора Пуанкаре–Стеклова для упругой полуплоскости имеет вид:

$$G(\alpha) = 2/(E^* |\alpha|),$$

где  $\alpha$  – параметр преобразования Фурье. Коэффициент расширения вычислительной области полагался равным единице. Дискретизация задачи производилась путем равномерного разбиения периода  $a/K$  на  $N_{be} = 4096$  одноузловых граничных элементов нулевого порядка.

При построении функций  $\Upsilon_s(p)$ ,  $\Upsilon_p(p)$ ,  $\Upsilon_q(p)$  и  $\Upsilon_z(p)$  для бесконечного в плане штампа  $\Pi_n^p(K)$  применялся следующий алгоритм. Определялось максимальное усилие  $R_{\max} = \max_{1 \leq i \leq K} r_i$  на микровыступах штампа  $\Pi_n^p(K)$  с РМР и вычислялось максимальное среднее давление  $p_{\max}^m = R_{\max} K/a$  для соответствующего ему штампа  $\Pi_n^p(K)$ . Далее производилось разбиение отрезка  $[0, p_{\max}^m]$  на  $L_p$  частей таким образом, чтобы их размеры увеличивались в геометрической прогрессии по мере удаления от левого конца отрезка, а отношение длин наибольшего и наименьшего из отрезков составляло  $l_p$ . В результате получена сетка  $\{p_0 = 0, p_1, \dots, p_L = p_{\max}^m\}$ . Далее производилось пошаговое нагружение штампа  $\Pi_n^p(K)$  средним давлением  $p_i$ ,  $i = 1, \dots, L_p$  и вычислялись значения сеточных функций  $\Upsilon_s(p) = \{\Upsilon_s(p_i)\}$ ,  $\Upsilon_p(p) = \{\Upsilon_p(p_i)\}$ ,  $\Upsilon_q(p) = \{\Upsilon_q(p_i)\}$  и  $\Upsilon_z(p) = \{\Upsilon_z(p_i)\}$ . Значения функций  $\Upsilon_s(p)$ ,  $\Upsilon_p(p)$ ,  $\Upsilon_q(p)$  и  $\Upsilon_z(p)$  для произвольного значения  $p \in [0, p_{\max}^m]$  вычислялись путем линейной интерполяции значений соответствующей сеточной функции. При проведении расчетов полагалось, что  $L_p = 1024$  и  $l_p = 25$ .

Аналогичный алгоритм использовался для построения функций  $\Lambda_K^i(f)$ ,  $i = 1, 2, 3$ , характеризующих процесс вдавливания жесткого штампа  $\Pi_n(K)$  с РМР в упругую полуплоскость, при изменении безразмерного параметра внешней нагрузки  $f$  в интервале  $[0, f^*]$ . Произведем разбиение интервала  $[0, f^*]$  на  $L_f$  частей таким образом, чтобы их размеры увеличивались в геометрической прогрессии по мере удаления от левого конца интервала, а отношение длин наибольшего и наименьшего из отрезков составляло  $l_f$ . В результате получим сетку  $T_f = \{f_0 = 0, f_1, \dots, f_L = f^*\}$ . Введем далее сеточные функции  $\Lambda_K^i = R_f \Lambda_K^i(f)$ ,  $i = 1, 2, 3$ , где  $R_f$  – оператор ограничения на сетку  $T_f$ . Для вычисления этих сеточных функций производилось пошаговое нагружение штампа. Значения функций  $\Lambda_K^i(f)$ ,  $i = 1, 2, 3$ , для произвольного значения  $f \in [0, f^*]$  вычислялись путем линейной интерполяции значений соответствующей сеточной функции. При проведении расчетов полагалось, что  $L_f = 256$  и  $l_f = 64$ .

Отметим одну особенность вычислительных алгоритмов решения контактных задач с использованием одноузловых граничных элементов нулевого порядка, т.е. элементов с постоянной аппроксимацией искомых контактных напряжений. Эти алгоритмы позволяют определить положения границ зон фактического контакта с точностью до размера граничного элемента и, как следствие, относительные величины площадей фактического контакта на

микровыступах (значения функций  $S_K = [s_i]$  и  $\Upsilon_s(p)$ ) изменяются дискретно с шагом  $\Delta s = 1/N_{pe}$ , а относительная величина площади фактического контакта штампа  $s = \Lambda_K^1(f)$  изменяется дискретно с шагом  $\Delta s = 1/(N_{be} \times K)$ . Отметим также, что двукратное измельчение гранично-элементной сетки примерно вдвое уменьшает погрешность определения площади фактического контакта.

**10. Результаты вычислительных экспериментов. Закономерности контактного взаимодействия штампов с РМР и упругой полуплоскости.** При проведении вычислительных экспериментов использовано более тысячи различных семейств  $\Pi_n^s$  штампов с РМР. В процессе обработки результатов расчетов для этих семейств штампов установлена следующая закономерность: при увеличении числа  $K$  микровыступов уменьшаются относительные расхождения

$$\varepsilon_m(\mathbf{R}, K) = \left\| \mathbf{R}_K - \mathbf{R}_K^b \right\|_m / \left\| \mathbf{R}_K \right\|_m$$

сеточных функций контактных усилий для штампов  $\Pi_n(K)$  с РМР и соответствующих им базовых штампов  $\Pi_n^b$  без РМР. Символ  $\left\| \cdot \right\|_m$  обозначает гельдеровскую норму вектора с одним из показателей  $m = 1, 2, \infty$ . В качестве примера в табл. 2 приведены относительные среднеквадратичные расхождения  $\varepsilon_2(\mathbf{R}, K)$  для семейств штампов, параметры которых и приложенных к ним внешних нагрузок указаны в табл. 1. Нетрудно видеть, что для всех семейств штампов среднеквадратичные расхождения  $\varepsilon_2(\mathbf{R}, 4096)$  не превышают 0.664%. Следовательно, при достаточно большом количестве микровыступов с приемлемой для инженерной практики точностью для штампа  $\Pi_n(K)$  с РМР распределение контактных усилий на его микровыступах может быть вычислено по известному распределению контактного давления для соответствующего базового штампа  $\Pi_n^b$  без РМР. Отметим, что наибольшие по абсолютной величине расхождения компонент сеточных функций  $\mathbf{R}_K$  и  $\mathbf{R}_K^b$  наблюдались для граничных и приграничных микровыступов кластера  $C_1$ , а для семейств штампов  $\Pi_3^s$  и  $\Pi_4^s$ ,

**Таблица 2.** Относительные среднеквадратичные расхождения  $\tilde{\varepsilon}_2(\mathbf{R}, K) = 10^5 \cdot \varepsilon_2(\mathbf{R}, K)$

Семейство штампов	Количество микровыступов $K$								
	16	32	64	128	256	512	1024	2048	4096
$\Pi_1^s$	2475	1570	972	601	379	245	161	106	70.6
$\Pi_2^s$	5199	4289	3257	2321	1612	1057	680	436	279
$\Pi_3^s$	16532	10705	6987	4610	3068	2056	1387	942	643
$\Pi_4^s$	43.0	47.3	37.0	21.6	13.8	6.70	3.96	3.06	1.68
$\Pi_5^s$	4681	3264	2156	1372	849	515	310	183	106
$\Pi_6^s$	438	285	214	135	75.1	47.1	26.4	15.1	9.08
$\Pi_7^s$	5012	3861	1786	1232	829	553	348	180	107
$\Pi_8^s$	314	442	335	137	177	96.9	62.8	42.9	27.8
$\Pi_9^s$	307	46.6	41.8	63.6	40.2	20.8	17.5	9.12	4.91
$\Pi_{10}^s$	13092	8395	6085	5832	4198	2545	1815	1136	664

базовые штампы которых имеют форму клина, — для центральных микровыступов штампов.

Ранее в работе [8] для семейств штампов с РМР было установлено, что при вдавливании штампов в упругую полосу существует единая огибающая сеточных функций нормализованных контактных усилий на микровыступах  $\tilde{\mathbf{R}}_K = [\tilde{r}_i]$ , где  $\tilde{r}_i = r_i K / |F_y|$ . В настоящей работе этот результат уточнен для упругой полуплоскости: на основании установленной закономерности и соотношений (6.3), (6.4) можно предположить, что для рассмотренных семейств  $\Pi_n^s$  штампов с РМР при  $K \rightarrow \infty$  существует предельная кривая для сеточных функций нормализованных контактных усилий на микровыступах  $\tilde{\mathbf{R}}_K$ , в качестве которой выступает распределение нормализованного контактного давления  $\tilde{p}_b(x)$  для соответствующего базового штампа  $\Pi_n^b$  без РМР.

Кроме того, установлена еще одна закономерность: при достаточно большом количестве микровыступов ряд характеристик контакта для штампа  $\Pi_n(K)$  с РМР могут быть с приемлемой для инженерной практики точностью определены с помощью решения периодической задачи для бесконечного в плане штампа  $\Pi_n^b(K)$  по контактным усилиям на микровыступах  $\mathbf{R}_K^b = [r_i^b]$ , вычисленным для базового штампа  $\Pi_n^b$ .

Используя (5.2)–(5.5), вычислим для штампа  $\Pi_n(K)$  сеточные функции относительных величин площадей фактического контакта  $\mathbf{S}_K$ , максимумов контактного давления  $\mathbf{P}_K$ , средних контактных давлений  $\mathbf{Q}_K$  и средних конечных зазоров  $\mathbf{Z}_K$  на микровыступах. Далее вычислим сеточную функцию контактных усилий  $\mathbf{R}_K^b$  для базового штампа  $\Pi_n^b$ , построим множество  $D_c(\mathbf{R}_K^b)$  микровыступов, контактирующих с полуплоскостью, и соответствующий оператор редукции  $\mathbf{F}(D_c)$ . Определим для множества  $C_1^0$  внутренних микровыступов кластера  $C_1 = D_c$  относительные расхождения сеточных функций:

$$\varepsilon_m(\mathbf{S}, K) = \left\| \mathbf{FS}_K - \mathbf{FY}_s(\mathbf{R}_K^b K / a) \right\|_m / \left\| \mathbf{FS}_K \right\|_m,$$

$$\varepsilon_m(\mathbf{P}, K) = \left\| \mathbf{FP}_K - \mathbf{FY}_p(\mathbf{R}_K^b K / a) \right\|_m / \left\| \mathbf{FP}_K \right\|_m,$$

$$\varepsilon_m(\mathbf{Q}, K) = \left\| \mathbf{FQ}_K - \mathbf{FY}_q(\mathbf{R}_K^b K / a) \right\|_m / \left\| \mathbf{FQ}_K \right\|_m,$$

$$\varepsilon_m(\mathbf{Z}, K) = \left\| \mathbf{FZ}_K - \mathbf{FY}_z(\mathbf{R}_K^b K / a) \right\|_m / \left\| \mathbf{FZ}_K \right\|_m.$$

Здесь и далее для краткости записи применение скалярной функции скалярного аргумента к сеточной функции означает покомпонентное применение этой функции к компонентам сеточной функции. Аналогичное правило действует в отношении операции умножения сеточной функции на скаляр.

В табл. 3–6 приведены относительные среднеквадратичные расхождения  $\varepsilon_2(\mathbf{S}, K)$ ,  $\varepsilon_2(\mathbf{P}, K)$ ,  $\varepsilon_2(\mathbf{Q}, K)$  и  $\varepsilon_2(\mathbf{Z}, K)$  для семейств штампов, параметры которых и приложенных к ним внешних нагрузок указаны в табл. 1. Нетрудно видеть, что для всех семейств штампов среднеквадратичные расхождения  $\varepsilon_2(\mathbf{S}, 4096)$  не превышают 0.828%,  $\varepsilon_2(\mathbf{P}, 4096)$  — 2.422%,  $\varepsilon_2(\mathbf{Q}, 4096)$  — 0.809%,  $\varepsilon_2(\mathbf{Z}, 4096)$  — 0.0718%. Для сравнения в табл. 7 для штампов  $\Pi_n(4096)$

**Таблица 3.** Относительные среднеквадратичные расхождения  
 $\tilde{\varepsilon}_2(\mathbf{S}, K) = 10^5 \cdot \varepsilon_2(\mathbf{S}, K)$

Семейство штампов	Количество микровыступов $K$								
	16	32	64	128	256	512	1024	2048	4096
$\Pi_1^s$	719	340	179	104	93.0	84.1	86.4	90.6	94.1
$\Pi_2^s$	467	273	187	129	114	102	102	102	104
$\Pi_3^s$	5461	3646	2387	1649	1312	1004	918	848	828
$\Pi_4^s$	109	80.4	51.3	52.8	43.4	47.2	54.6	59.3	62.3
$\Pi_5^s$	1157	590	310	204	196	216	226	235	220
$\Pi_6^s$	123	61.7	52.4	58.3	61.1	62.1	64.9	67.5	69.6
$\Pi_7^s$	310	214	208	189	195	201	205	206	207
$\Pi_8^s$	112	72.0	73.1	70.6	64.7	66.9	72.1	75.2	77.3
$\Pi_9^s$	77.0	68.5	61.3	52.4	50.6	60.2	62.5	63.7	64.6
$\Pi_{10}^s$	2545	966	899	773	612	513	471	448	445

**Таблица 4.** Относительные среднеквадратичные расхождения  
 $\tilde{\varepsilon}_2(\mathbf{P}, K) = 10^5 \cdot \varepsilon_2(\mathbf{P}, K)$

Семейство штампов	Количество микровыступов $K$								
	16	32	64	128	256	512	1024	2048	4096
$\Pi_1^s$	730	312	136	64.4	30.9	29.7	62.7	113	185
$\Pi_2^s$	5112	3782	2931	2366	1989	1723	1539	1412	1327
$\Pi_3^s$	5673	3737	2428	1634	1131	743	482	327	303
$\Pi_4^s$	40249	27904	19547	13758	9708	6857	4846	3425	2422
$\Pi_5^s$	1248	659	340	205	163	143	127	119	86.1
$\Pi_6^s$	2970	2339	1539	1006	636	370	228	128	71.0
$\Pi_7^s$	1482	790	780	648	483	333	219	167	107
$\Pi_8^s$	5740	2612	1513	1185	752	541	318	189	109
$\Pi_9^s$	5336	2389	1461	1011	809	585	410	245	143
$\Pi_{10}^s$	9267	3192	2449	2331	1414	761	414	259	174

приведены относительные расхождения сеточных функций, вычисленные с использованием норм  $\|\cdot\|_1$  и  $\|\cdot\|_\infty$ . Отметим, что имеющиеся для некоторых штампов значительные различия результатов для этих норм связаны с неоднородным распределением контактных усилий по микровыступам.

Таким образом, для штампа  $\Pi_n(K)$  с РМР при достаточно большом количестве микровыступов с приемлемой для инженерной практики точностью распределения относительных величин площадей фактического контакта, максимумов контактного давления, средних контактных давлений и средних конечных зазоров на его внутренних микровыступах  $\tilde{\sigma}_i \in C_1^0$  могут быть определены с помощью решения периодической задачи для бесконечного в плане

**Таблица 5.** Относительные среднеквадратичные расхождения  
 $\tilde{\varepsilon}_2(\mathbf{Q}, K) = 10^5 \cdot \varepsilon_2(\mathbf{Q}, K)$

Семейство штампов	Количество микровыступов $K$								
	16	32	64	128	256	512	1024	2048	4096
$\Pi_1^s$	690	275	126	64.9	70.1	67.5	74.5	76.6	80.3
$\Pi_2^s$	2229	1283	709	418	229	129	91.0	77.2	80.5
$\Pi_3^s$	5795	3800	2474	1784	1326	1047	838	807	809
$\Pi_4^s$	157	138	69.3	47.3	47.6	46.7	54.8	57.5	59.6
$\Pi_5^s$	1295	714	417	309	260	240	231	227	217
$\Pi_6^s$	134	85.9	80.3	69.6	65.9	65.8	67.4	68.9	70.0
$\Pi_7^s$	2062	1428	739	463	362	284	244	230	219
$\Pi_8^s$	173	147	107	70.7	71.6	694	70.8	72.9	75.0
$\Pi_9^s$	67.8	56.6	54.6	46.4	48.0	58.1	60.7	61.8	62.6
$\Pi_{10}^s$	7718	2339	2629	2542	1704	1021	643	495	436

**Таблица 6.** Относительные среднеквадратичные расхождения  
 $\tilde{\varepsilon}_2(\mathbf{Z}, K) = 10^5 \cdot \varepsilon_2(\mathbf{Z}, K)$

Семейство штампов	Количество микровыступов $K$								
	16	32	64	128	256	512	1024	2048	4096
$\Pi_1^s$	1622	726	330	167	97.6	65.7	51.3	44.8	41.7
$\Pi_2^s$	633	381	229	137	80.4	43.8	23.4	13.3	8.98
$\Pi_3^s$	520	335	214	137	89.6	57.6	37.1	24.1	65.0
$\Pi_4^s$	3250	1067	403	215	112	71.6	34.0	15.6	12.6
$\Pi_5^s$	964	470	225	126	95.4	80.2	66.9	57.1	38.6
$\Pi_6^s$	1133	436	180	85.8	41.1	15.6	3.98	3.37	4.33
$\Pi_7^s$	134	98.2	47.2	25.0	14.5	9.07	5.94	4.54	2.90
$\Pi_8^s$	658	358	243	181	105	78.6	34.8	14.2	4.97
$\Pi_9^s$	1474	664	483	328	342	310	287	150	71.8
$\Pi_{10}^s$	47.6	15.5	20.0	20.4	13.2	7.48	4.01	2.10	1.18

штампа  $\Pi_n^p(K)$  по контактным усилиям на микровыступах  $\mathbf{R}_K^b$ , вычисленным для базового штампа  $\Pi_n^b$ .

Также в процессе обработки результатов расчетов для бесконечных в плане штампов  $\Pi_n^p(K)$  установлена следующая закономерность: функции  $\Upsilon_s(p)$ ,  $\Upsilon_p(p)$ ,  $\Upsilon_q(p)$  и  $K\Upsilon_z(p)$  инвариантны относительно периода (размера микровыступа)  $a/K$ . Следовательно, при достаточно большом числе микровыступов относительные величины площадей фактического контакта, значения максимумов контактного давления и средних контактных давлений на его внутренних микровыступах  $\bar{\sigma}_i \in C_1^0$  практически не зависят от числа микровыступов, а значения средних конечных зазоров убывают обратно пропорционально числу

**Таблица 7.** Относительные расхождения  $\tilde{\varepsilon}_m = 10^5 \cdot \varepsilon_m$ 

Штамп	$\tilde{\varepsilon}_m(\mathbf{R}, 4096)$		$\tilde{\varepsilon}_m(\mathbf{S}, 4096)$		$\tilde{\varepsilon}_m(\mathbf{P}, 4096)$		$\tilde{\varepsilon}_m(\mathbf{Q}, 4096)$		$\tilde{\varepsilon}_m(\mathbf{Z}, 4096)$	
	$m=1$	$m=\infty$								
$\Pi_1(4096)$	6.11	119	80.2	131	12.1	1161	73.8	51.2	37.7	56.1
$\Pi_2(4096)$	20.3	400	85.5	158	146	6058	73.8	87.3	7.91	122
$\Pi_3(4096)$	60.1	5908	686	4323	39.1	4555	674	4590	3.31	2655
$\Pi_4(4096)$	0.245	12.0	51.5	137	201	20999	50.4	73.3	12.0	60.2
$\Pi_5(4096)$	20.2	2648	171	2280	14.1	2170	173	2146	7.40	712
$\Pi_6(4096)$	1.37	239	56.0	151	31.4	983	56.6	146	2.05	4.70
$\Pi_7(4096)$	19.7	2804	175	443	22.7	2326	183	1124	0.865	67.3
$\Pi_8(4096)$	2.56	769	64.0	156	34.7	1325	63.2	156	2.19	80.2
$\Pi_9(4096)$	0.500	122	53.4	127	44.2	2035	52.5	117	13.3	479
$\Pi_{10}(4096)$	115	8190	369	968	61.4	1950	372	1060	0.673	19.7

микровыступов. Отметим, что существование единой огибающей контактного давления для однопараметрического семейства  $\Pi^s(\Phi_1, \Phi_2)$  штампов с РМР при вдавливании в упругую полуплоскость впервые было установлено в работе [7], а существование единой огибающей относительных величин площадей фактического контакта при вдавливании штампов с РМР в упругую полосу – в работе [8].

В работах [11, 12] при исследовании методом вычислительного эксперимента процесса вдавливания штампов с РМР в функционально-градиентные и многослойные упругие полосы, склеенные с недеформируемым основанием, наблюдалась сходимость последовательностей сеточных функций относительных величин площадей фактического контакта штампа  $\Lambda_K^1$ , осадки штампа  $\Lambda_K^2$  и угла поворота штампа  $\Lambda_K^3$  при увеличении числа  $K$  микровыступов. В настоящей работе при моделировании процесса вдавливания жестких штампов  $\Pi_n(K)$  с РМР в упругую полуплоскость установлена аналогичная закономерность: при увеличении числа  $K$  уменьшаются относительные расхождения сеточных функций:

$$\varepsilon_m^i(K) = \left\| \Lambda_K^i - \Lambda_Q^i \right\|_m / \left\| \Lambda_Q^i \right\|_m, \quad i=1, 2, 3,$$

где  $Q=4096$  – максимальное число микровыступов в серии расчетов.

Таким образом, на основании результатов проведенных вычислительных экспериментов можно предположить существование для рассмотренных семейств  $\Pi_n^s$  штампов с РМР при  $K \rightarrow \infty$  предельных кривых  $s = \Lambda^1(f)$ ,  $\delta_y = \Lambda^2(f)$  и  $\varphi_z = \Lambda^3(f)$ .

В качестве примера на рис. 3–5 приведены графики зависимостей  $s = \Lambda_Q^1(f)$ ,  $\delta_y = \Lambda_Q^2(f)$  и  $\varphi_z = \Lambda_Q^3(f)$  для штампов  $\Pi_n(Q)$ , параметры которых указаны в табл. 1. Номера кривых 1–10 соответствуют номерам штампов  $n=1, \dots, 10$ . Отметим, что на рис. 4б кривые 2 и 10 практически совпали и визуально не различимы. При проведении расчетов полагалось, что  $f^* = 10^{-5}$ , а

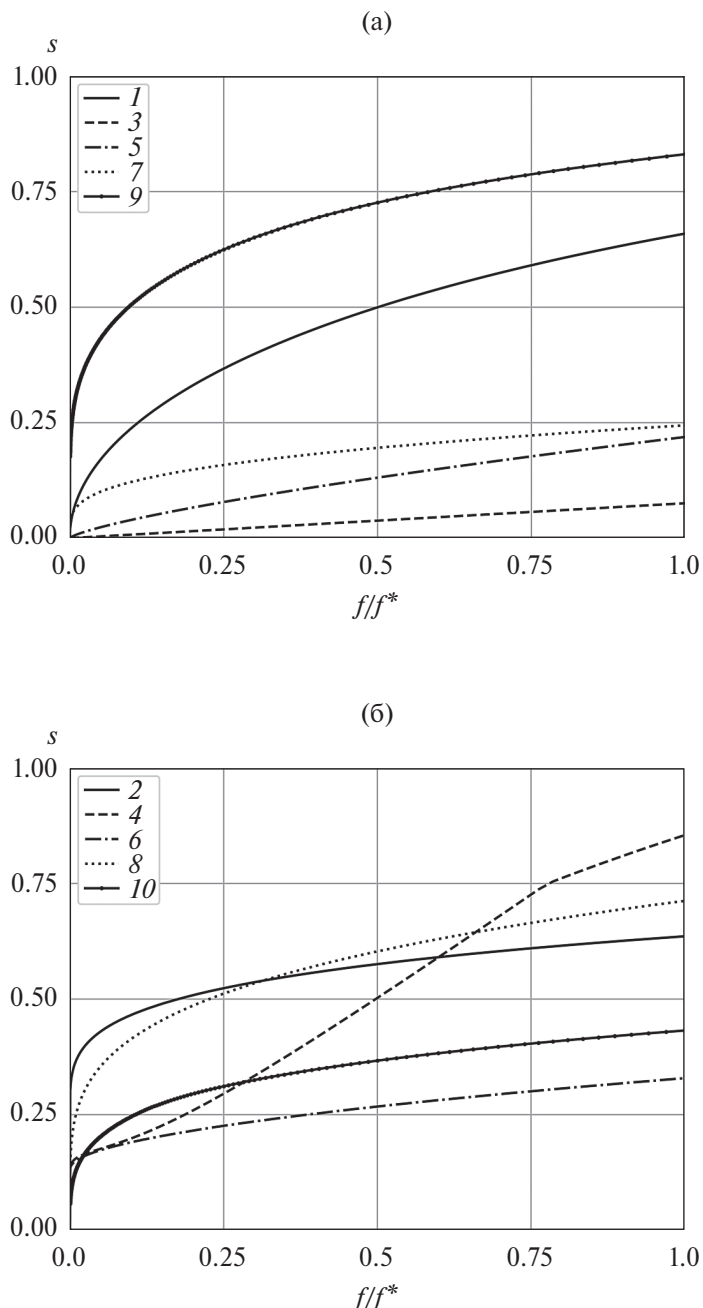


Рис. 3. Зависимость относительной величины площади фактического контакта штампа от параметра внешней нагрузки  $s = \Lambda_Q^1(f)$  (номера кривых соответствуют номерам штампов  $\Pi_n(Q)$ ).

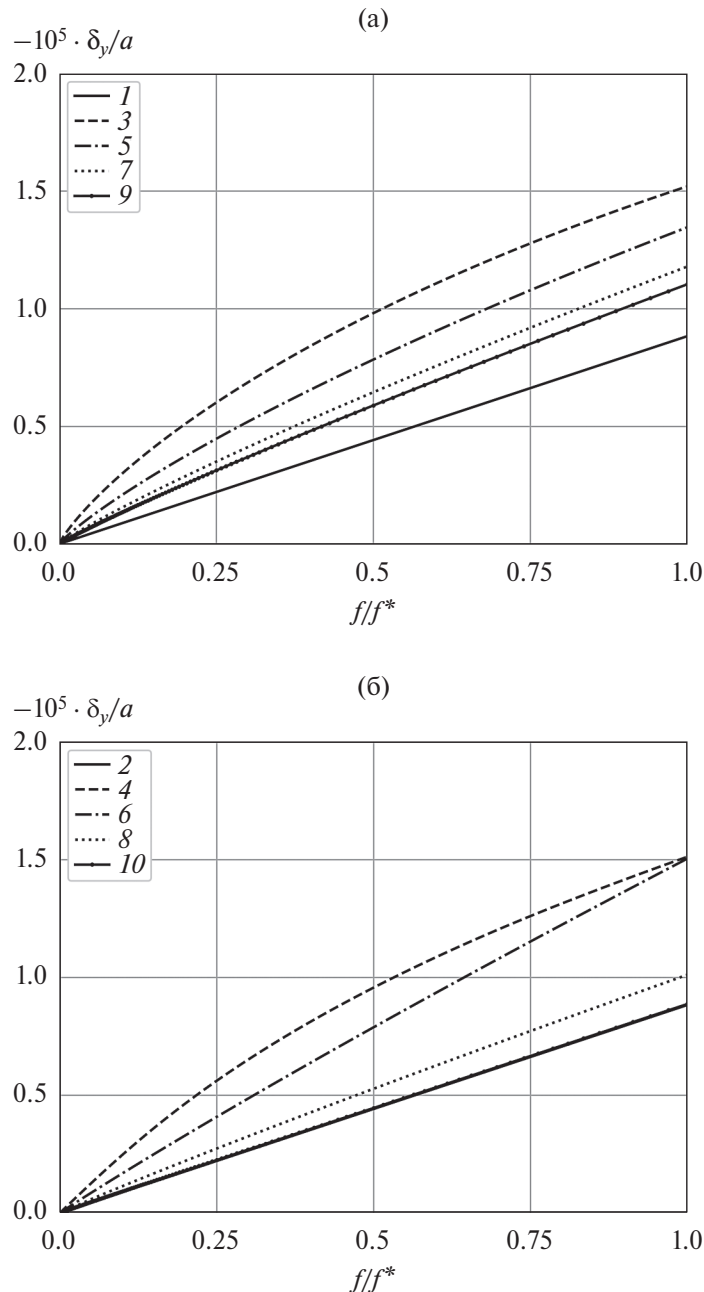


Рис. 4. Зависимость осадки штампа от параметра внешней нагрузки  $\delta_y = \Lambda_Q^2(f)$  (номера кривых соответствуют номерам штампов  $\Pi_n(Q)$ ).

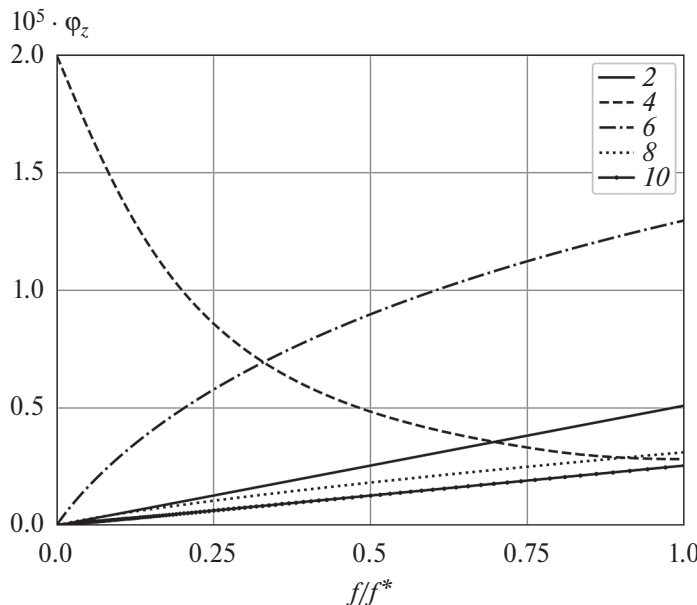


Рис. 5. Зависимость угла поворота штампа от параметра внешней нагрузки  $\varphi_z = \Lambda_Q^3(f)$  (номера кривых соответствуют номерам штампов  $\Pi_n(Q)$ ).

значение безразмерного параметра  $e$ , характеризующего эксцентрикитет равнодействующей внешней нагрузки, для каждого штампа принималось равным указанному в табл. 1. Нетрудно видеть, что относительная величина площади фактического контакта штампа  $s = \Lambda_Q^1(f)$  и осадка штампа  $\delta_y = \Lambda_Q^2(f)$  возрастают с увеличением внешней нагрузки. Угол поворота штампа  $\varphi_z = \Lambda_Q^3(f)$  также возрастает с увеличением внешней нагрузки для штампов всех рассмотренных семейств  $\Pi_n^s$ , кроме  $\Pi_4^s$ , базовый штамп которого имеет форму клина. При приложении внешней нагрузки с эксцентрикитетом относительно вершины клина штамп мгновенно поворачивается на угол  $\varphi_z^* = 90^\circ - \alpha$ , где  $\alpha$  — угол полураствора клина. С увеличением нагрузки угол поворота штампов семейства  $\Pi_4^s$  убывает. Зависимости  $\varphi_z = \Lambda_Q^3(f)$  для штампов с номерами  $n = 1, 3, 5, 7, 9$ , для которых параметр  $e = 0$ , не представлены на рис. 5, так как полученные численные значения  $\varphi_z$  для параметра  $f \in [0, f^*]$  по абсолютной величине не превышали  $3 \cdot 10^{-15}$ .

Все проведенные в данной работе расчеты выполнялись для упругой полуплоскости, модуль Юнга которой полагался равным  $E = 10^5$  МПа, а коэффициент Пуассона — равным  $\nu = 0.3$ .

**11. Приближенный расчет характеристик контакта поверхностей с РМР (плоская задача).** Пусть макроформа и РМР контактирующих тел таковы, что для определения напряженно-деформированного состояния тел может быть использовано решение Фламана задачи о действии сосредоточенной нормальной силы на границе упругой полуплоскости. В этом случае при моделировании локального контактного взаимодействия двух упругих тел может

быть использована расчетная схема, в которой одно из тел считается жестким штампом, а второе – упругой полуплоскостью с приведенным модулем упругости. Также предполагается, что в зоне контакта находится достаточно большое количество, по крайней мере несколько сотен микровыступов.

На основе установленных методом вычислительного эксперимента закономерностей для штампов с РМР предлагается следующая методика приближенного расчета распределения нагрузок между элементами РМР, а также оценки контактного давления, размеров площадок фактического контакта и средних конечных зазоров на микровыступах.

На первом шаге аналитически или численно определяется распределение контактного давления для базового штампа без РМР. Далее производится равномерное разбиение области возможного контакта  $\Gamma_p$  на отрезки, соответствующие отдельным микровыступам РМР, и вычисляются контактные усилия на этих отрезках, т.е. вычисляется сеточная функция  $\mathbf{R}_K^b$ .

На втором шаге решается периодическая контактная задача для бесконечного в плане штампа, РМР которого идентичен РМР рассматриваемого штампа конечных размеров, и определяются аналитически или численно с помощью описанного выше в п. 8 алгоритма функции  $\Upsilon_s(p)$ ,  $\Upsilon_p(p)$ ,  $\Upsilon_q(p)$  и  $\Upsilon_z(p)$ .

На завершающем шаге вычисляются приближенные распределения по микровыступам рассматриваемого штампа с РМР (сеточные функции) относительных величин площадей фактического контакта  $S_K^* = \Upsilon_s(\mathbf{R}_K^b K/a)$ , максимумов контактного давления  $P_K^* = \Upsilon_p(\mathbf{R}_K^b K/a)$ , средних контактных давлений  $Q_K^* = \Upsilon_q(\mathbf{R}_K^b K/a)$  и средних конечных зазоров  $Z_K^* = \Upsilon_z(\mathbf{R}_K^b K/a)$ .

Отметим, что если контактное давление для базового штампа без РМР ограничено во всей области контакта, то на ее краях оно стремится к нулю, а контактные усилия и, следовательно, контактные напряжения на граничных и приграничных микровыступах соответствующего штампа с РМР будут малы по сравнению с аналогичными характеристиками для его внутренних микровыступов.

**12. Заключение.** В настоящей работе рассмотрена задача дискретного контакта жесткого штампа с РМР и упругой полуплоскости. С учетом результатов работ [8, 11, 12] можно предположить, что установленные для полуплоскости закономерности контактного взаимодействия могут быть обобщены на случай упругой полосы как однородной, так и функционально-градиентной или многослойной. Также с учетом результатов работы [13] представляет интерес исследование аналогичных закономерностей для пространственных задач о вдавливании штампов с РМР в упругое полупространство или слой.

## СПИСОК ЛИТЕРАТУРЫ

1. Шнейдер Ю.Г. Эксплуатационные свойства деталей с регулярным микрорельефом. СПб.: СПб ГИТМО (ТУ), 2001. 264 с.
2. Горячева И.Г. Механика фрикционного взаимодействия. М.: Наука, 2001. 478 с.
3. Горячева И.Г., Цуканов И.Ю. Развитие механики дискретного контакта с приложениями к исследованию фрикционного взаимодействия деформируемых тел (Обзор) // ПММ. 2020. Т. 84. Вып. 6. С. 757–789.  
<https://doi.org/10.31857/S0032823520060053>

4. *Goryacheva I.G., Tsukanov I.Y.* Analysis of elastic normal contact of surfaces with regular microgeometry based on the localization principle // *Front. Mech. Eng.* 2020. V. 6. Article 45.  
<https://doi.org/10.3389/fmech.2020.00045>
5. *Цуканов И.Ю.* К вопросу о контакте волнистого цилиндра и упругой полуплоскости // *ПММ*. 2022. Т. 86. Вып. 5. С. 685–694.  
<https://doi.org/10.31857/S0032823522050125>
6. *Джонсон К.* Механика контактного взаимодействия. М.: Мир, 1989. 510 с.
7. *Бобылев А.А.* Применение метода сопряженных градиентов к решению задач дискретного контакта для упругой полуплоскости // *Изв. РАН. МТТ*. 2022. № 2. С. 135–153.  
<https://doi.org/10.31857/S0572329922020052>
8. *Бобылев А.А.* Алгоритм решения задач дискретного контакта для упругой полосы // *ПММ*. 2022. Т. 86. Вып. 3. С. 404–423.  
<https://doi.org/10.31857/S0032823522030031>
9. *Мусхелишвили Н.И.* Некоторые основные задачи математической теории упругости. М.: Наука, 1966. 708 с.
10. *Бобылев А.А.* О положительной определенности оператора Пуанкаре–Стеклова для упругой полуплоскости // *Вест. Моск. ун-та. Сер. 1. Матем. Механ.* 2021. № 6. С. 34–40.
11. *Бобылев А.А.* Задача одностороннего дискретного контакта для функционально-градиентной упругой полосы // *Вест. Моск. ун-та. Сер. 1. Матем. Механ.* 2024. № 2. С. 58–69.  
<https://doi.org/10.55959/MSU0579-9368-1-65-2-8>
12. *Бобылев А.А.* Алгоритм решения задач одностороннего дискретного контакта для многослойной упругой полосы // *Прикл. мех. и техн. физ.* 2024. Т. 65. № 2. С. 230–242.  
<https://doi.org/10.15372/PMTF202315415>
13. *Бобылев А.А.* Алгоритм решения задач дискретного контакта для упругого слоя // *Изв. РАН. МТТ*. 2023. № 2. С. 70–89.  
<https://doi.org/10.31857/S0572329922100129>

## ON REGULARITIES OF CONTACT INTERACTION OF SURFACES WITH REGULAR MICRORELIEF (PLANE PROBLEM)

A. A. Bobylev<sup>a, \*</sup>

<sup>a</sup>*Lomonosov Moscow State University, Moscow, Russia*

\**e-mail: abobyllov@gmail.com*

**Abstract** – We consider plane contact problems with a limited contact area for elastic bodies with a regular microrelief (RMR) applied to their surfaces. It is assumed that Flamant's solution to the problem of the action of a concentrated normal force on the boundary of an elastic half-plane can be used to determine the stress-strain state of bodies. When modeling the contact interaction, a calculation scheme was used in which one of the bodies is considered as a rigid punch, and the second

is considered as an elastic half-plane with a composite modulus of elasticity. The single-parameter families of punches with RMR are considered, the parameter of which is the number of microprotrusions. The regularities of contact interaction of punches with RMR and elastic half-plane were investigated by the method of computational experiment. Based on the established patterns, a method for approximate calculation of load distribution between RMR elements, as well as assessment of contact pressure, sizes of actual contact areas and average final gaps on microprotrusions is proposed.

*Keywords:* problem of unilateral discrete contact, surface with regular microrelief

## REFERENCES

1. *Schneider Yu.G.* Operational properties of parts with regular microrelief. SPb.: SPb GITMO (TU), 2001. 264 p. (in Russian)
2. *Goryacheva I.G.* Contact Mechanics in Tribology. Dordrecht: Springer, 1998. 346 p.
3. *Goryacheva I.G., Tsukanov I.Y.* Development of Discrete Contact Mechanics with Applications to Study the Frictional Interaction of Deformable Bodies // *Mech. Solids*. 2020. V. 55. № 8. P. 1441–1462.  
<https://doi.org/10.3103/S0025654420080099>
4. *Goryacheva I.G., Tsukanov I.Y.* Analysis of Elastic Normal Contact of Surfaces with Regular Microgeometry Based on the Localization Principle // *Front. Mech. Eng.* 2020. V. 6. Article 45.  
<https://doi.org/10.3389/fmech.2020.00045>
5. *Tsukanov I.Y.* On the Contact Problem for a Wavy Cylinder and an Elastic Half-Plane // *Mech. Solids*. 2022. V. 57. № 8. P. 2104–2110.  
<https://doi.org/10.3103/S002565442208026X>
6. *Johnson K.L.* Contact Mechanics. Cambridge: Cambridge University Press, 1985. 452 p.
7. *Bobylev A.A.* Application of the Conjugate Gradient Method to Solving Discrete Contact Problems for an Elastic Half-Plane // *Mech. Solids*. 2022. V. 57. № 2. P. 317–332.  
<https://doi.org/10.3103/S0025654422020029>
8. *Bobylev A.A.* Algorithm for Solving Discrete Contact Problems for an Elastic Strip // *Mech. Solids*. 2022. V. 57. № 7. P. 1766–1780.  
<https://doi.org/10.3103/S0025654422070068>
9. *Muskhelishvili N.I.* Some Basic Problems of the Mathematical Theory of Elasticity. Dordrecht: Springer Netherlands, 1977. 732 p.
10. *Bobylev A.A.* On the Positive Definiteness of the Poincaré–Steklov Operator for Elastic Half-Plane // *Moscow University Mechanics Bulletin*. 2021. V. 76. № 6. P. 156–162.  
<https://doi.org/10.3103/S0027133021060029>
11. *Bobylev A. A.* The Unilateral Discrete Contact Problem for a Functionally Graded Elastic Strip // *Moscow University Mechanics Bulletin*. 2024. V. 79. № 2. P. 56–68.  
<https://doi.org/10.3103/S00271330242700080>
12. *Bobylev A.A.* Algorithm for Solving Unilateral Discrete Contact Problems for a Multilayer Elastic Strip // *J. Appl. Mech. Tech. Phys.* 2024. V. 65. № 2. P. 382–392.  
<https://doi.org/10.1134/S0021894424020202>
13. *Bobylev A.A.* Algorithm for Solving Discrete Contact Problems for an Elastic Layer // *Mech. Solids*. 2023. V. 58. № 2. P. 439–454.  
<https://doi.org/10.3103/S0025654422100296>